

ANALISA DISTRIBUSI TEKANAN DAN ALIRAN DISEKITAR ROTOR SAVONIUS WATER TURBINE

Rendi,

Fakultas Teknik, Universitas Islam Kalimantan MAB
Jl. Adhyaksa No.2 Kayutangi Banjarmasin
Email : rendi.teknikmesin@gmail.com

ABSTRAK

Distribusi tekanan dan aliran pada model *Savonius water turbin* sangat kompleks. Penelitian ini bertujuan untuk mengetahui distribusi tekanan dan pola aliran disekitar rotor turbin. Penelitian ini dilakukan dengan membuat model *CAD* dengan variasi penambahan deflektor yaitu deflektor tunggal dan deflektor ganda. Simulasi menggunakan *software Solid works Flow Simulasi* berbasis *Finite Elements Analysis (FEA) Method*. Kecepatan aliran air ditetapkan 1,5 m/s. Hasil simulasi menunjukkan peforma berupa distribusi tekanan dan distribusi kecepatan aliran air lebih tinggi dan terlihat lebih luas dan merata terjadi pada penambahan *deflektor* ganda dibandingkan dengan tampa *deflektor* dan penambah *deflektor* tunggal. Efektifitas tinggi rendahnya tekanan dan kecepatan aliran yang terjadi memberikan pengaruh terhadap putaran turbin sehingga memberikan dampak signifikan terhadap peforma turbin yang dihasilkan.

Kata Kunci : *Deflektor, Savonius water turbine, distribusi tekanan, distribusi kecepatan*

Pemanfaatan energi terbarukan terus dikaji untuk menghasilkan efesiensi yang lebih baik (ridwan,2016). Energi arus air di indonesia memiliki potensi yang besar (Kurniawan, 2014) karena sebagian besar wilayah Indonesia terdiri dari perairan (Irsyad, 2010). Teknologi untuk memanfaatkan potensi tersebut belum berhasil dikembangkan. (Verma and Saini, 2015) Turbin *Savonius* pada umumnya adalah turbin angin yang baru-baru ini dikembangkan untuk turbin air yang dinamakan dengan *savonius water turbine*. *Savonius water turbine* adalah turbin air dengan konstruksi sederhana (Mabrouki, Driss and Abid, 2014), (Thakker, 2016). Berputar pada kecepatan rendah, memiliki torsi awal yang tinggi, (Wahyudi *et al.*, 2013) Kekuatan pendorong utama drag (Mabrouki, Driss and Abid, 2014), (Hayashi, Li And Hara, 2005) termasuk jenis turbin sumbu vertikal (Golecha, Eldho and Prabhu, 2011) (Damak, Driss and Abid, 2013)

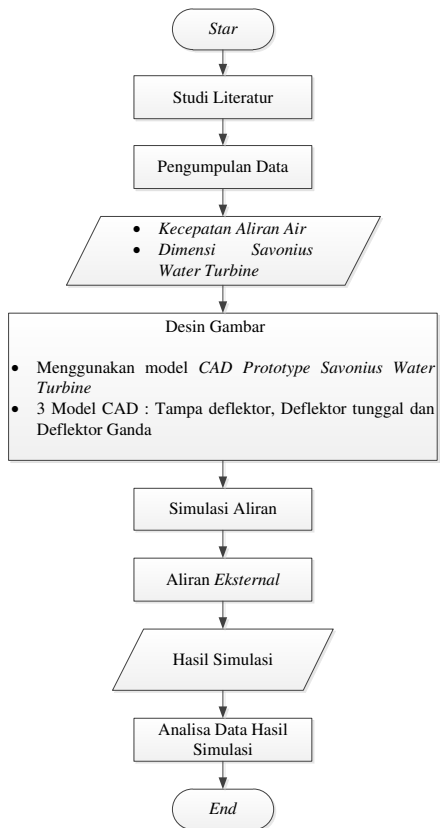
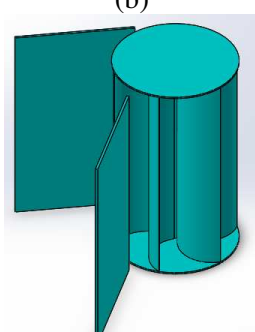
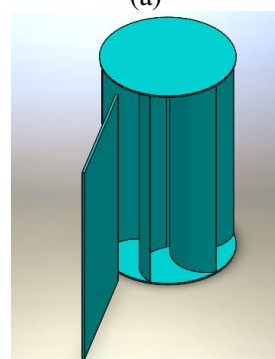
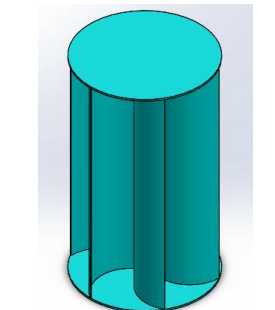
Didistribusi tekanan dan aliran pada model *Savonius water turbine* sangat kompleks. Tidak ada model matematika yang dapat menyelesaikan secara analitis untuk menggambarkan kondisi tersebut. Salah satu solusinya adalah kajian eksperimental, namun ini membutuhkan usaha dan biaya yang sangat

besar. Solusi lain yang lebih layak sebelum dilakukan kajian eksperimental adalah simulasi.

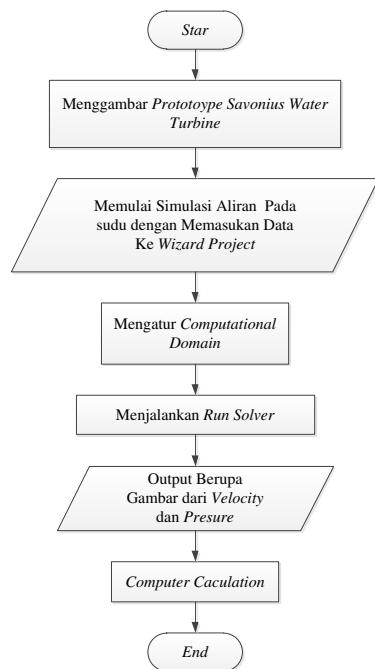
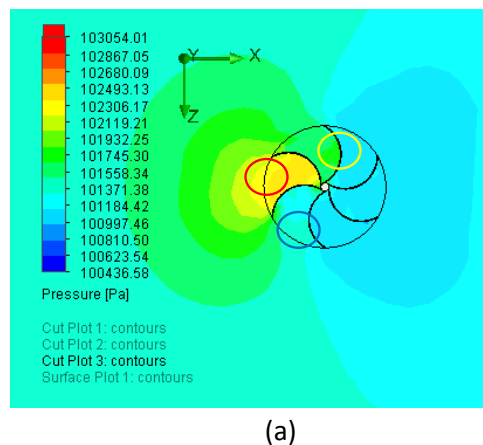
Pada Penelitian ini dilakukan dengan membuat model *CAD* dengan variasi penambahan deflektor yaitu *deflektor* tunggal dan *deflektor* ganda. Simulasi menggunakan *software Solid works Flow Simulasi*.

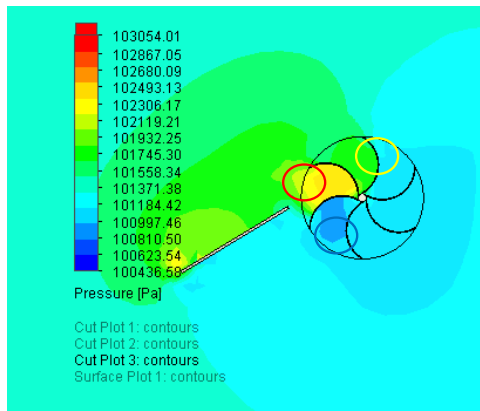
METODOLOGI

Gambar 1 adalah Flow chart penelitian, alur penelitian dimulai dengan studi literatur, pengambilan data, dapat dilihat pada gambar berikut:

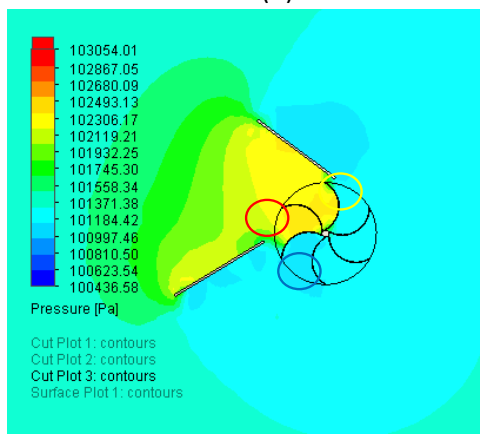
Gambar 1. *Flow chart* Penelitian

Gambar 3. (a) Tampak Deflektor. (b) Deflektor Tunggal. (c) Deflektor Ganda

Gambar 2. *Flow chart* Proses Simulasi



(b)



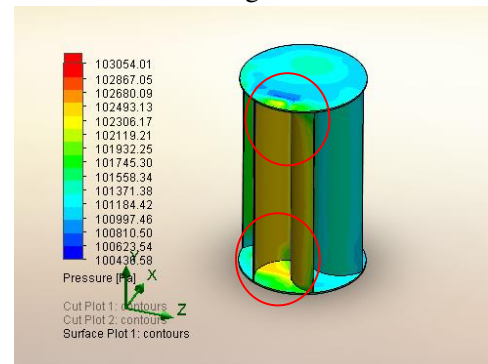
(c)

Gambar 4. *Cut Plots Pressure* pada Kecepatan 1.5 m/s

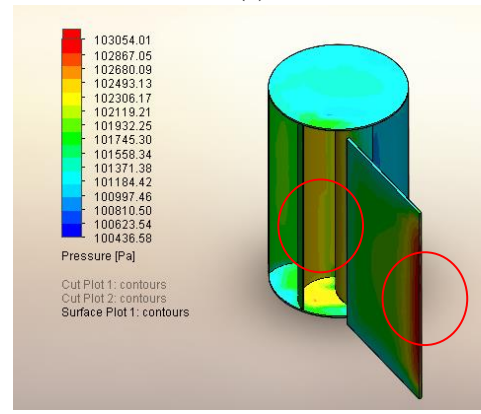
- (a) Tampa *Deflektor*.
- (b) *Deflektor* Tunggal.
- (c) *Deflektor* Ganda

Gamar 4 merupakan *cut plot pressure* dari sudu dengan kecepatan air 1,5 m/s. Pada gambar 4 (a) menunjukkan dearah *pressure* yang dialami sudu tanpa *deflektor* dimana *pressure* terbesar bernilai 102680,09 Pa dan *pressure* terkecil sebesar 100810 Pa. daerah distribusi tekanan terbesar pada satu sudu lingkaran warna merah kemudian pada sudu yang dilingkar warna kuning. Pada gambar 4 (b) merupakan *savonius water turbine deflektor* tunggal dimana *pressure* terbesar 102680,08 Pa dan *pressure* terkecil 100623,09 Pa daerah distribusi tekanan lebih besar dibandingkan turbin tanpa *deflektor* kelihatan pada sudu yang dilingkari dengan warna merah, kuning dan biru. Pada gambar 4 (c) merupakan turbin *savonius water turbine* dengan 2 *deflektor* dimana *pressure* terbesar 103680 Pa dan *pressure* terkecil 100810 Pa. distribusi tekanan lebih besar dimandangkan dengan tanpa *deflektor* dan *deflektor* tunggal

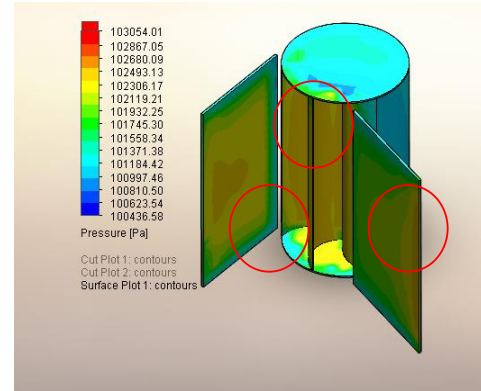
kelihatan pada sudu yang dilingkari dengan warna merah, kuning dan biru.



(a)



(b)

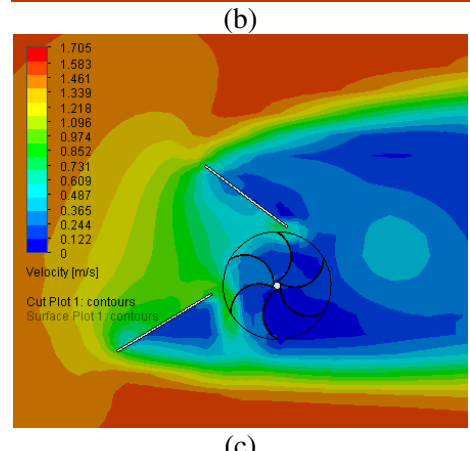
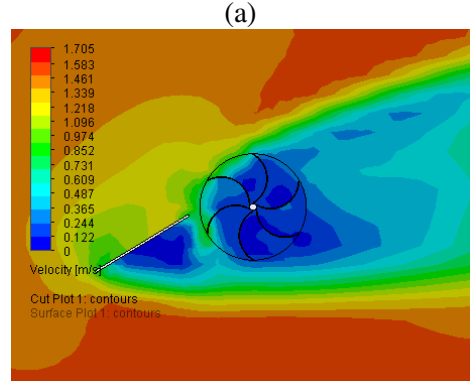
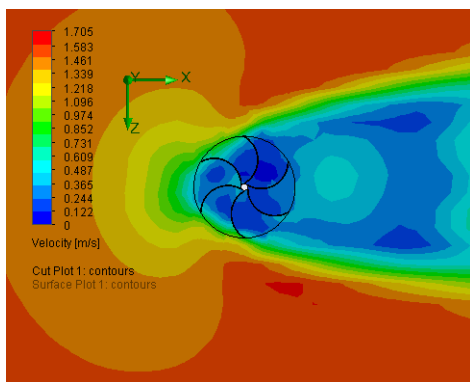


(c)

Gambar 5. *Surface Plots Pressure* pada Kecepatan 1.5 m/s

- (a) Tampa *Deflektor*.
- (b) *Deflektor* Tunggal.
- (c) *Deflektor* Ganda

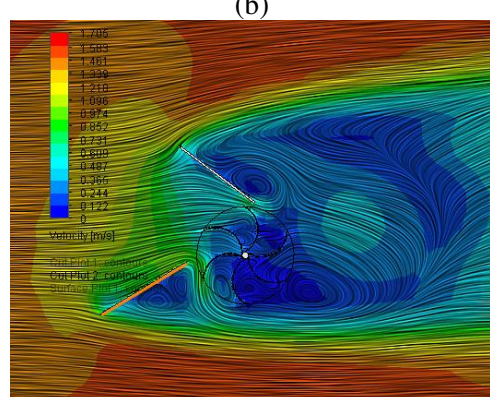
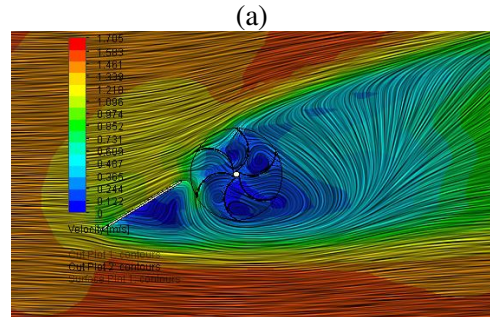
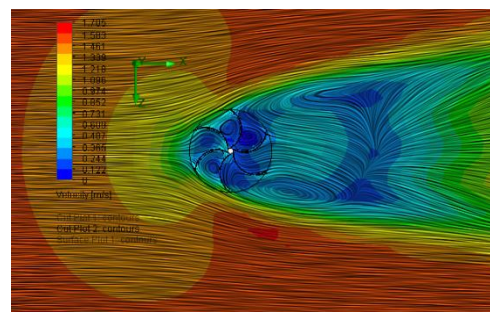
Gamar 5 merupakan *Surface Plots Pressure* pada Kecepatan 1.5 m/s. terlihat bahwa dengan penggunaan *deflektor* ganda akan dapat memperluas bidang presure hal tersebut dapat dilihat pada gambar diatas.



Gambar 6. Cut Plots Velocity pada Kecepatan 1.5 m/s

- (a) Tampa Deflektor.
- (b) Deflektor Tunggal.
- (c) Deflektor Ganda

Gambar 6 merupakan Cut Plots Velocity pada Kecepatan 1.5 m/s. terlihat bahwa dengan penggunaan deflektor ganda akan dapat memperluas bidang velocity hal tersebut dapat dilihat pada gambar diatas.



Gambar 7. Cut Plots Streamlines Velocity pada

Kecepatan 1.5 m/s

- (a) Tampa Deflektor.
- (b) Deflektor Tunggal.
- (c) Deflektor Ganda

Gambar 7 merupakan Cut Plots Streamlines Velocity pada Kecepatan 1.5 m/s terlihat bahwa dengan penggunaan deflektor ganda akan dapat memperluas bidang velocity hal tersebut dapat dilihat pada gambar diatas.

KESIMPULAN

Hasil simulasi menunjukkan performa berupa distribusi tekanan dan distribusi kecepatan aliran air lebih tinggi dan terlihat lebih luas dan merata terjadi pada penambahan deflektor ganda dibandingkan dengan tampa deflektor dan pemanambah deflektor tunggal. Efektifitas tinggi rendahnya tekanan dan kecepatan aliran yang terjadi memberikan pengaruh

terhadap putaran turbin sehingga memberikan dampak signifikan terhadap performa turbin yang dihasilkan.

REFERENSI

- [1] Bhatt, H. and Jani, S. (2014) ‘Energy Generation in Water Pipe Lines Savonius Water Turbine Power’, *International Journal of Research in Advent Technology*, 2(12), pp. 2321–9637.
- [2] Bhaumik, T. (2010) ‘Performance measurement of a two bladed helical Savonius rotor’, *Proc. 37th International & 4th National Conference on* 4(1).
- [3] Damak, A., Driss, Z. and Abid, M. S. (2013) ‘Experimental investigation of helical Savonius rotor with a twist of 180??’, *Renewable Energy*. Elsevier Ltd, 52(April), pp. 136–142. doi: 10.1016/j.renene.2012.10.043.
- [4] Deb, B., Gupta, R. and Misra, R. D. (2013) ‘Performance analysis of a helical Savonius rotor without shaft at 45?? twist angle using CFD’, *Journal of Urban and Environmental Engineering*, 7(1), pp. 126–133. doi: 10.4090/juee.2013.v7n1.126133.
- [5] Debnath, P. and Gupta, R. (2013) ‘Flow Physics Analysis of Three-Bucket Helical Savonius Rotor at Twist Angle Using CFD’, *International Journal of Modern Engineering Research*, 3(2), pp. 739–746. doi: 10.5539/mer.v3n1p118.
- [6] Gad, H. E., El-hamid, A. A. A. and Nasef, M. H. (2014) ‘A New Design of Savonius Wind Turbine: Numerical Study’, *CFD Letters*, 6(December), pp. 144–158.
- [7] Golecha, K., Eldho, T. I. and Prabhu, S. V. (2011) ‘Influence of the deflector plate on the performance of modified Savonius water turbine’, *Applied Energy*, 88(9), pp. 3207–3217. doi: 10.1016/j.apenergy.2011.03.025.
- [8] Hasan, O. D. S., Hantoro, R. and Nugroho, G. (2013) ‘Studi Eksperimental Vertical Axis Winmd Turbine Tipe Savonius dengan Variasi Jumlah Fin pada Sudu’, *Jurnal Teknik POMITS*, 2(2), pp. 350–355.
- [9] Irawan, H and Iskendar. 2016. “Analisa Pengaruh Jumlah Sudu Roda Jalan Terhadap Unjuk Kerja Turbin Air Cross Flow Dengan Metode Taguchi.” *Jurnal Al-jajari*, 2 (1).pp. 16-23
- [10] Hayashi, T., Li, Y. And Hara, Y. (2005) ‘Wind Tunnel Tests on a Different Phase Three-Stage Savonius Rotor’, *JSME International Journal Series B*, 48(1), pp. 9–16. doi: 10.1299/jsmeb.48.9.
- [11] Iio, S. et al. (2011) ‘Influence of setting condition on characteristics of Savonius hydraulic turbine with a shield plate’, *Journal of Thermal Science*, 20(3), pp. 224–228. doi: 10.1007/s11630-011-0462-9.
- [12] Irsyad, M. (2010) ‘Kinerja turbin air tipe darrieus dengan sudu hydrofoil standar naca 6512’, *Ilmiah Teknik Mesin*, 1(2), pp. 91–97.
- [13] Kadam, A. and Patil, S. (2013) ‘A Review Study on Savonius Wind Rotors for Accessing the Power Performance’, *IOSR jurnal of mechanical and civil engineering*, (September 2015), pp. 18–24.
- [14] Kailash, G., Eldho, T. I. and Prabhu, S. V. (2012) ‘Performance study of modified savonius water turbine with two deflector plates’, *International Journal of Rotating Machinery*, 2012. doi: 10.1155/2012/679247.
- [15] Kamoji, M. A., Kedare, S. B. and Prabhu, S. V. (2009) ‘Experimental investigations on single stage modified Savonius rotor’, *Applied Energy*, 86(7-8), pp. 1064–1073. doi: 10.1016/j.apenergy.2008.09.019.
- [16] Khana, P. (2011) ‘Rancang bangun turbin air poros vertikal sudu bergerak’, *Jurnal rekayasa daerah*, X(1), pp. 1390–1404.
- [17] Kurniawan, I. (2014) ‘Kajian Eksperimental dan Numerikal Turbin Air Helikal Gorlov Untuk Twist Angle 60’, *Jurnal Teknobiologi*, 5(1), pp. 7–13.
- [18] Lee, J. H., Lee, Y. T. and Lim, H. C. (2016) ‘Effect of twist angle on the performance of Savonius wind turbine’, *Renewable Energy*, 89, pp. 231–244. doi: 10.1016/j.renene.2015.12.012.
- [18] Mabrouki, I., Driss, Z. and Abid, M. S. (2014a) ‘Experimental Investigation of the

- Height Effect of Water Savonius Rotors', *International Journal of Mechanics and Applications*, 4(1), pp. 8–12. doi: 10.5923/j.mechanics.20140401.02.
- [19] Mabrouki, I., Driss, Z. and Abid, M. S. (2014b) 'Performance Analysis of a Water Savonius Rotor: Effect of the Internal Overlap', *Sustainable Energy*, 2(4), pp. 121–125. doi: 10.12691/rse-2-4-1.
- [20] Mohamed, M. H. A. (2011) 'Design optimization of Savonius and Wells turbines', pp. 1–198. Available at: http://edoc.bibliothek.uni-halle.de/receive/HALCoRe_document_00010715?lang=de.
- [21] Muliawan, A. and Yani, A. (2016) 'Analisis Daya Dan Efisiensi Turbin Air Kinetis Akibat', *Journal Of Sainstek*, 8(1), Pp. 1–9.
- [22] Mulkan, I., Hantoro, R. and Nugroho, G. (2012) 'Analisa Performansi Turbin Arus Sungai Vertikal Aksis Terhadap Penambahan Variasi Panjang', *Jurnal Teknik Pomits*, 1(1), Pp. 1–5.
- [23] Pietersz, Richard , Rudy Soenoko, S. W. (2013) 'Pengaruh Jumlah Sudu Terhadap', *Jurnal Rekayasa Mesin*, 4(2), pp. 93–100.
- [24] Fitria. 2009 "Analisa Metode Desain Eksperimen Taguchi Dalam Optimalisasi Karakteristik Mutu". Skripsi. Fakultas Sains dan Teknologi. Universitas Islam Negeri Maulana Malik Ibrahim. Malang.
- [25] Purnama, A. C., Hantoro, R. and Nugroho, G. (2013) 'Rancang Bangun Turbin Air Sungai Poros Vertikal Tipe Savonius dengan Menggunakan Pemandu Arah Aliran', *Jurnal Teknik ITS*, 2(2), pp. B278–B282.
- [26] Sahim, K., Santoso, D. and Radentan, A. (2013) 'Performance of combined water turbine with semielliptic section of the savonius rotor', *International Journal of Rotating Machinery*, 2013. doi: 10.1155/2013/985943.
- [26] Saha, U.K & Rajkumar. 2006 "On the performance analysis of Savonius rotor with twisted blades" *Jurnal Renewable Energy* 31(11), pp.1776-1788
doi.org/10.1016/j.renene.2005.08.030
- [27] Thakker, H. B. (2016) 'International Journal of Modern Trends in Engineering and Research', *International Journal of Modern Trends in Engineering and Research*, (2349), pp. 645–652.
- [28] Verma, A. K. and Saini, R. P. (2015) 'Efficiency Measurement Techniques Of Hydro Kinetic Turbines : A Review', *Ichpsd*, Pp. 268–285.
- [29] Wahyudi, B. et al. (2013) 'A Simulation Study of Flow and Pressure Distribution Patterns in and around of Tandem Blade Rotor of Savonius (TBS) Hydrokinetic Turbine Model', *Journal of Clean Energy Technologies*, 1(4), pp. 286–291. doi: 10.7763/JOCET.2013.V1.65.
- [30] Yaakob, O., Arif Ismail, M. and Ahmed, Y. M. (no date) 'Parametric Study for Savonius Vertical Axis Marine Current Turbine using CFD Simulation', pp. 200–205.